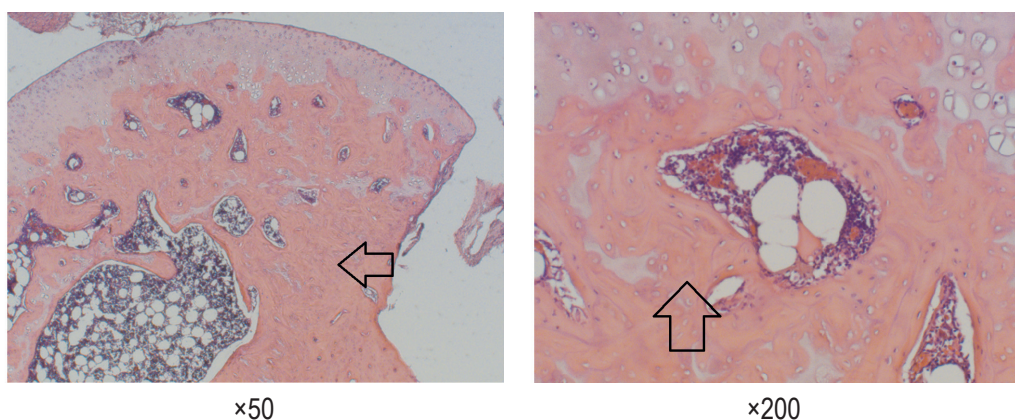


**ИЛЛЮСТРАЦИИ К СТАТЬЕ «ВЛИЯНИЕ ВОСПАЛЕНИЯ НА ТЕЧЕНИЕ АСЕПТИЧЕСКОГО НЕКРОЗА ГОЛОВКИ БЕДРЕННОЙ КОСТИ В ЭКСПЕРИМЕНТЕ» (АВТОРЫ: ШАБАЛДИН Н.А., СИНИЦКАЯ А.В., БОГДАНОВ Л.А., ШАБАЛДИН А.В. [с. 1183-1196])**

ILLUSTRATIONS FOR THE ARTICLE "THE EFFECT OF INFLAMMATION ON THE COURSE OF EXPERIMENTAL ASEPTIC NECROSIS OF FEMORAL HEAD" (AUTHORS: SHABALDIN N.A., SINITSKAYA A.V., BOGDANOV L.A., SHABALDIN A.V. [pp. 1183-1196])

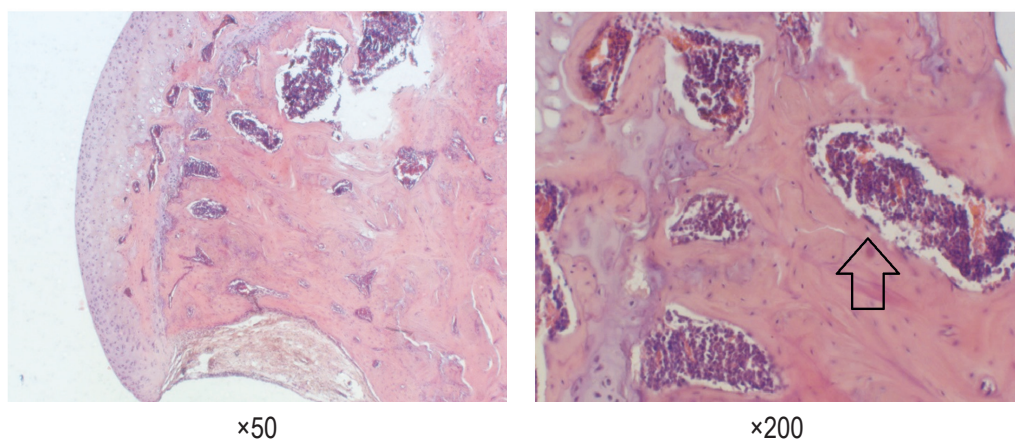


**Рисунок 1. Гистологическое исследование 2 недель**

Примечание. Окраска гематоксилин-эозин ( $\times 50$ ;  $\times 200$ ). Начальные признаки волнообразного расположения костных трабекул (указаны стрелочкой).

Figure 1. Histological examination for 2 weeks

Note. Hematoxylin-eosin staining ( $\times 50$ ;  $\times 200$ ). The initial signs of a wave-like arrangement of bone trabeculae (indicated by an arrow).

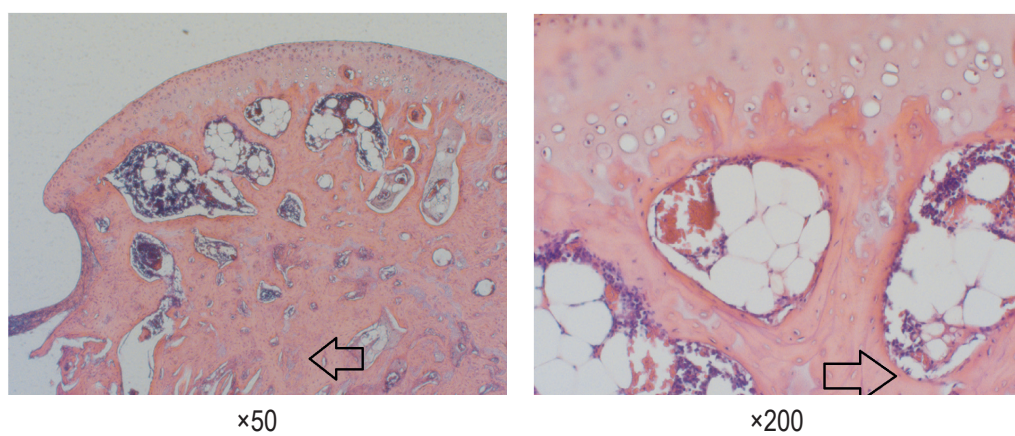


**Рисунок 2. Гистологическое исследование 6 недель**

Примечание. Окраска гематоксилин-эозин ( $\times 50$ ;  $\times 200$ ). Активные остеоклазты, лакуны костной резорбции (указаны стрелочкой)

Figure 2. Histological examination of 6 weeks

Note. Hematoxylin-eosin staining ( $\times 50$ ;  $\times 200$ ). Active osteoclasts, lacunae of bone resorption (indicated by an arrow)



**Рисунок 3. Гистологическое исследование 8 недель**

Примечание. Окраска гематоксилин-эозин ( $\times 50$ ;  $\times 200$ ). Активные остеобласти, замещение фиброзной тканью (указаны стрелочками).

Figure 3. Histological examination of 8 weeks

Note. Hematoxylin-eosin staining ( $\times 50$ ;  $\times 200$ ). Active osteoblasts, replacement with fibrous tissue (indicated by arrows).